

高等学校試用教科书

机 械 零 件

JIXIE LINGJIAN

(1962年修訂本)

中 册

西北工业大学机械原理及机械零件教研組編

濮良貴 主編

人民教育出版社

高等学校試用教科书



机 械 零 件

JIXIE LINGJIAN

(1962 年修訂本)

中 册

西北工业大学机械原理及机械零件教研组編

濮良貴 主編

人 民 教 育 出 版 社

本书是西北工业大学机械原理及机械零件教研組根据西北工业大学等校編的“机械零件”(修訂本)(1961年人民教育出版社出版),并結合有关試用意見及其他参考资料修訂而成的。

全书共五篇,計23章,分上、中、下三册出版。本书是中册,內容包括第三篇“傳動”,計六章:摩擦輪傳動,皮帶傳動,鏈傳動,齒輪傳動,蝸輪傳動,減速器。

本书主要用作高等工业院校机械类各专业的試用教科书,亦可供机械工程技术人員参考。

担任本书修訂工作的有王步瀛、沈允文、湯嘉吉、赵文蔚、濮良貴,最后由濮良貴进行全书的通讀整理工作。

本书修訂稿曾經太原工学院朱景粹教授审閱。

机 械 零 件

(1962年修訂本)

中 册

西北工业大学机械原理及机械零件教研組編

濮良貴 主編

北京市书刊出版业营业許可证出字第2号

人民教育出版社出版(北京景山东街)

人 民 教 育 印 刷 厂 印 装

新 华 书 店 北京 发 行 所 发 行

各 地 新 华 书 店 經 售

统一书号K15010·944 开本 787×1092 1/16 印张 97/8 插页 2
字数 210,000 印数 73,501—83,500 定价(7) 1.00
1960年8月第1版 1962年8月修訂第3版 1962年8月北京第6次印刷

目 录

第三篇 傳動

總論 167

第十一章 摩擦輪傳動 173

 § 11-1. 概述 173

 § 11-2. 定傳動比摩擦輪傳動 173

 § 11-3. 摩擦輪傳動的工作特性 176

 § 11-4. 摩擦輪傳動的計算 178

 § 11-5. 无級變速器概述 181

例題 185

第十二章 皮帶傳動 187

 § 12-1. 概述 187

 § 12-2. 平皮帶傳動 188

 § 12-3. 三角皮帶傳動 205

 § 12-4. 皮帶輪 211

例題 216

第十三章 鏈傳動 218

 § 13-1. 概述 218

 § 13-2. 傳動鏈的結構和材料 219

 § 13-3. 鏈輪的結構和材料 223

 § 13-4. 鏈傳動的運動學 225

 § 13-5. 鏈傳動主要參數的選擇及鏈傳動的計算 228

 § 13-6. 鏈傳動的輔助裝置及潤滑 235

例題 236

第十四章 齒輪傳動 239

 § 14-1. 概述 239

 § 14-2. 齒輪的破壞形式 239

 § 14-3. 齒輪材料 242

 § 14-4. 直齒圓柱齒輪的強度計算 244

 § 14-5. 斜齒及人字齒圓柱齒輪的強度計算 251

 § 14-6. 直齒圓錐齒輪的強度計算 254

 § 14-7. 載荷系數 256

 § 14-8. 許用應力 261

 § 14-9. 齒輪傳動參數的選擇 264

 § 14-10. 提高漸開線齒輪傳動承載能力的途徑 266

 § 14-11. 齒輪傳動的效率及潤滑 267

 § 14-12. 齒輪結構 269

 § 14-13. 非直齒圓錐齒輪傳動及其強度計算 275

 § 14-14. 修正齒輪傳動計算 277

 § 14-15. 高速齒輪傳動及行星齒輪傳動計算概述 284

 § 14-16. 齒輪傳動齒齒脆性破壞等其他計算概述 284

 § 14-17. 圓弧齒輪傳動計算 285

例題 288

第十五章 蠕輪傳動 290

 § 15-1. 蠕輪傳動的特點及幾何形狀 290

 § 15-2. 蠕輪傳動的參數 291

 § 15-3. 蠕杆和蠕輪的材料及破壞形式 295

 § 15-4. 蠕輪傳動的受力分析 296

 § 15-5. 蠕輪傳動的強度計算 296

 § 15-6. 蠕輪傳動的效率及熱平衡核算 301

 § 15-7. 蠕杆及蠕輪的結構 304

 § 15-8. 蠕輪傳動的潤滑 305

 § 15-9. 圓弧面蠕杆蠕輪傳動 305

例題 311

第十六章 減速器 313

 § 16-1. 減速器的主要類型、特點及應用 313

 § 16-2. 減速器的規格化及其主要參數 315

 § 16-3. 減速器的結構及潤滑 317

第三篇參考書刊 318

第三篇 傳動

總論

(一) 傳動的重要性

任何工作机都要靠原动机供給一定形式的能量(绝大多数是机械能)才能工作。但是，把原动机和工作机直接联接起来的情况是很少的，往往需要加入傳递动力或改变运动情况的裝置——傳動裝置来担当前述任务。其主要原因是：

1. 工作机所要求的速度，一般与原动机的最佳速度不相符合，故需增速或減速，通常多为減速。
2. 很多工作机都需要根据生产要求而进行速度調整，但依靠調整原动机的速度来达到这一目的往往是不經濟的，甚至是不可能的。
3. 原动机的輸出軸通常只作均匀迴轉运动，而工作机所需要的运动形式則是多种多样的，如直線运动、螺旋运动等。
4. 需要用一台原动机带动若干組速度不同的机构。
5. 为了工作安全及維护方便，或因机器的外廓尺寸受到限制等其他原因，有时不能把原动机和工作机直接联接在一起。

由此可見，傳動裝置是大多数机器或机組的主要組成部分。實踐証明，傳動裝置的重量和成本在整台机器的重量和成本中占有很大的比重。机器的工作性能和運轉費用在很大的程度上也决定于傳動裝置的質量。因此，不断提高傳動的設計和制造质量就具有极其重大的意义。

(二) 傳動的分类

根据工作原理的不同，可将傳動分为两类：1. 机械能不改变为另一种形式的能的傳動——機械傳動；2. 机械能改变为电能，或电能改变为机械能的傳動——電傳動。機械傳動又分为摩擦傳動、嚙合傳動、液力傳動和氣力傳動。

近代机器中，日渐广泛地綜合采用上述各类傳動。它們的特性对比，見表1。

表1. 各类傳動特性的对比①

各 种 特 点	电力傳動	機 條 傳 动			
		嚙合的	摩擦的	液力的	氣力的
便于集中供应能量	+				+
在远距离傳動时，设备简单	+				
能量易于儲存					+

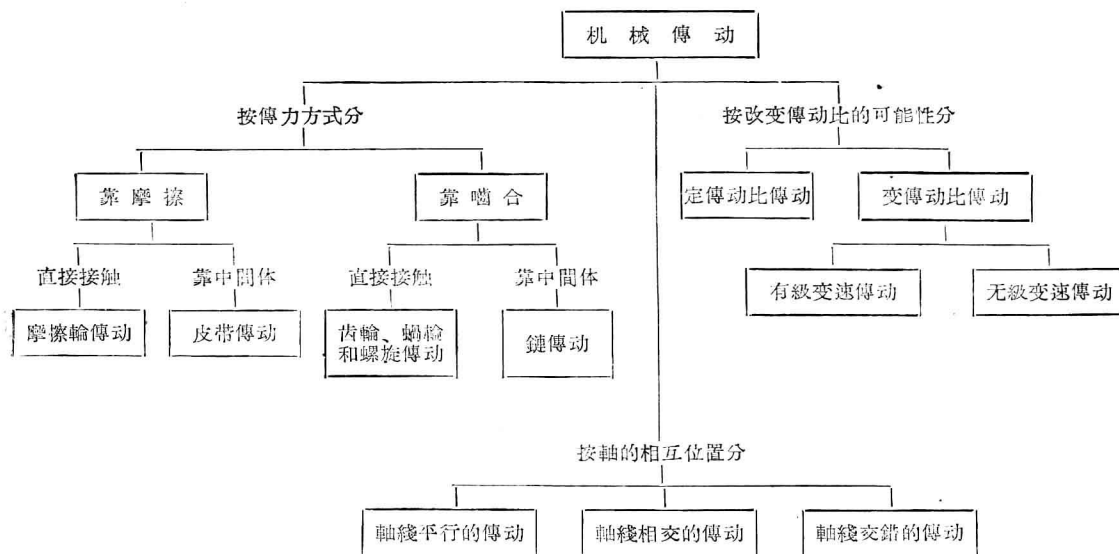
① 仅供对各类傳動作一般比較时参考。

续前表

易于在較大范围内实行有級变速	+	+	+		
易于在較大范围内实行无級变速	+		+	+	
保持准确的傳动比		+			
可用于高轉速	+				+
易于实现直線运动		+	+	+	+
不受周围环境温度变化的影响	+	+			+
作用于工作部分的压力大		+		+	
易于自动控制和远程控制	+				

电力、液力和气力傳动不属本課程范围，可參看各有关书籍。

属于本篇研究对象的机械傳动通常分类如下：



上列各种傳动的特点将在以下各章中分別介紹。

(三) 傳動类型選擇概要^①

当設計傳动时，如傳递的功率(N)、傳动比(i)和工作条件为已定，则不同的傳动各有其优缺点。因而就产生了怎样合理选择傳动类型的問題。

概括地說，选择傳动类型时所应根据的主要指标是：效率高，外廓尺寸小，重量輕，运动性能良好及符合生产条件(生产的可能性、預期的生产率及生产成本)等。至于在具体情况下，究竟应选择何种傳动型式，只有綜合比較若干方案的技术經濟指标后才能作出結論。現簡述下列数点，以供参考。

① 主要論述定傳動比傳動。

1. 功率与效率 各类傳動所能傳递的功率取决于其傳動原理、承載能力、載荷分布、工作速度、制造精度、机械效率和发热情况等因素。

一般地說，啮合傳動傳递功率的能力高于摩擦傳動；蝸輪傳動工作时的发热情況較为严重，因而傳递的功率不宜过大；摩擦輪傳動由于必需具有足够的压緊力，故在傳递同一圓周力时，接觸应力要比齒輪傳動者大几倍，因而也不宜用于較大功率的傳動；鏈傳動和三角皮帶傳動为了增大傳递功率的能力，必須增大鏈條和皮帶的剖面面积或列数(根数)，这就要受到載荷分布不均的限制；齒輪傳動在較多的方面优于上述各种傳動，因而应用也就最广。

效率是評定傳動质量的主要指标之一。不断提高傳動的效率，就能节约动力，降低使用費用。效率的对立面是傳動中的功率損失。在机械傳動中，功率的損失主要由于軸承摩擦、傳動零件間的相对滑动和攪動潤滑油等原因。所損失的能量绝大部分将轉化为热。如果損失过大，將会使工作温度超过允許的限度，导致傳動的失效。因此，效率低的傳動裝置一般不宜用于大功率的傳递。

各種傳動傳递功率的範圍及效率概值見表 2。

表 2. 各種傳動傳递功率的範圍及效率概值

傳動類型	功率 N (千瓦)		效率 η (未計入軸承中的摩擦損失)	
	使用範圍	常用範圍	閉式傳動	開式傳動
圓柱及圓錐齒輪傳動(單級)	极小至 50000	—	0.95~0.98	0.92~0.94
蝸輪傳動：	可达 200 或更大	20~50	0.40	0.30
自鎖的			0.70~0.80	0.60~0.70
非自鎖的，蝸杆头数为：			0.80~0.85	—
$Z_1 = 1 \sim 2$			0.85~0.90	—
2~3				—
3~4				—
鏈傳動	可达 3500	100 以下	0.95~0.97	0.90~0.93
摩擦輪傳動	很小至 100 或更大	20 左右	0.90~0.96	0.75~0.88
皮帶傳動：				
平皮帶	1~1500	20~30	—	0.92~0.98
三角皮帶	可达 1000	50~100	—	0.90~0.97

还应指出，不同的傳動型式，在傳递同样的功率时，通过傳動零件作用到軸上的压力亦不同。这个力在很大的程度上决定着傳動的摩擦損失和軸承寿命。摩擦輪傳動作用在軸上的压力最大，皮帶傳動次之，斜齒齒輪及蝸輪傳動再次之，鏈傳動、直齒和人字齒齒輪傳動則最小[1]^①。

2. 速度 速度是傳動的主要运动特性之一。提高傳動速度是机器的重要发展方向。

表示傳動速度的参数是最大圓周速度和最大轉速。傳動速度的提高，在不同傳動型式中要受到不同因素的限制，例如动力載荷、傳動的热平衡条件及离心力等。

表 3 給出各类傳動速度範圍的参考数值。

3. 外廓尺寸、重量和成本 傳動的外廓尺寸和重量与功率和速度的大小密切相关，也与傳動

① 方括弧內的数字代表本篇末所列参考书刊的序号。

表 3. 各类傳動的最大允許速度与轉速

傳 动 类 型	最大允許速度(米/秒)	最大允許轉速(轉/分)
普通平皮帶傳動	≤25(30)	
高質量皮革帶傳動	35~40	7000~8000
特殊高質量的織造的平皮帶傳動	到 100*	到 60000*
鋼帶傳動	80	—
標準三角皮帶傳動	25~30	12000
鋼絲芯特殊三角皮帶傳動	50	12000
鏈傳動	40	8000~10000
齒輪傳動:		
6 級精度直齒圓柱齒輪	到 18	
6 級精度非直齒圓柱齒輪	到 36	30000
5 級精度直齒圓柱齒輪	到 100	
蝸輪傳動	15~35**	
摩擦輪傳動	15~25	

* 在縮短傳動壽命的條件下，可達到的數值[5]。

** 指滑動速度。

零件材料的機械性能有關。但當這些條件一定時，傳動裝置的外廓尺寸和重量基本上是取決於傳動型式的。在大傳動比的多級傳動中，傳動比的分配對外廓尺寸起著很大的影響。

傳動比是傳動的運動特性之一。各類傳動用於單級減速及單級增速時的傳動比概值列於表 4。

表 4. 各類單級傳動的傳動比*概值

傳 动 类 型	減速傳動比	增速傳動比**
嚙合傳動:		
蝸輪傳動	≤40	1:1.5~1:2
齒輪傳動	4~20***	
鏈傳動:		
套筒滾子鏈	≤6~10	
齒形鏈	≤15	
摩擦傳動:		1:3~1:5
皮帶傳動		
平皮帶	≤5	
三角皮帶	≤8~15	
有張緊輪的	≤10	
摩擦輪傳動	≤5~10	

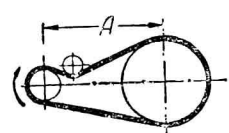
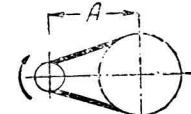
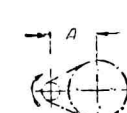
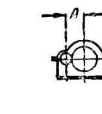
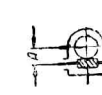
* 傳動比指主動輪轉速與從動輪轉速的比值。

** 由於振動及噪音的原因，增速傳動的工作情況較差，增速不宜過大。

*** 對於齒輪傳動來說，當傳動比大於 8 時，一般不宜採用一級傳動（詳見 § 16-1）。

在同样功率和传动比的条件下，各类传动装置外廓尺寸的差异是很可观的。在传动比不大的情况下，从尺寸与重量来看，蜗轮传动最为轻巧；这一情况可由表 5 中看出。当传动比很大时，虽然蜗轮传动便于实现大传动比，但由于蜗轮的增大和轴承组合结构尺寸的增大，其外廓尺寸就不能保持最小（参看图 III-1）。显然，这时以齿轮传动占有优势。

表 5. 各类传动的重量、尺寸和成本的比较

传动类型 ($N = 100$ 马力, $i = \frac{n_1}{n_2} = \frac{1000}{250} = 4$) (按同一比例尺画图)	中心距 (毫米)	轮的宽度 (毫米)	重量 (近似值) (公斤)	相对成本 %	
平皮带传动 ($v = 23.6$ 米/秒)		5000	350	500	106
具有张紧轮的 平皮带传动 ($v = 23.6$ 米/秒)		2300	250	550	125
三角皮带传动 ($v = 23.6$ 米/秒)		1800	130	500	100
链传动 ($b = 7$ 米/秒)		830	360	500	140
齿轮传动 ($v = 5.85$ 米/秒)		280	160	600	165
蜗轮传动 ($v_{蜗} = 5.85$ 米/秒)		280	60	450	125

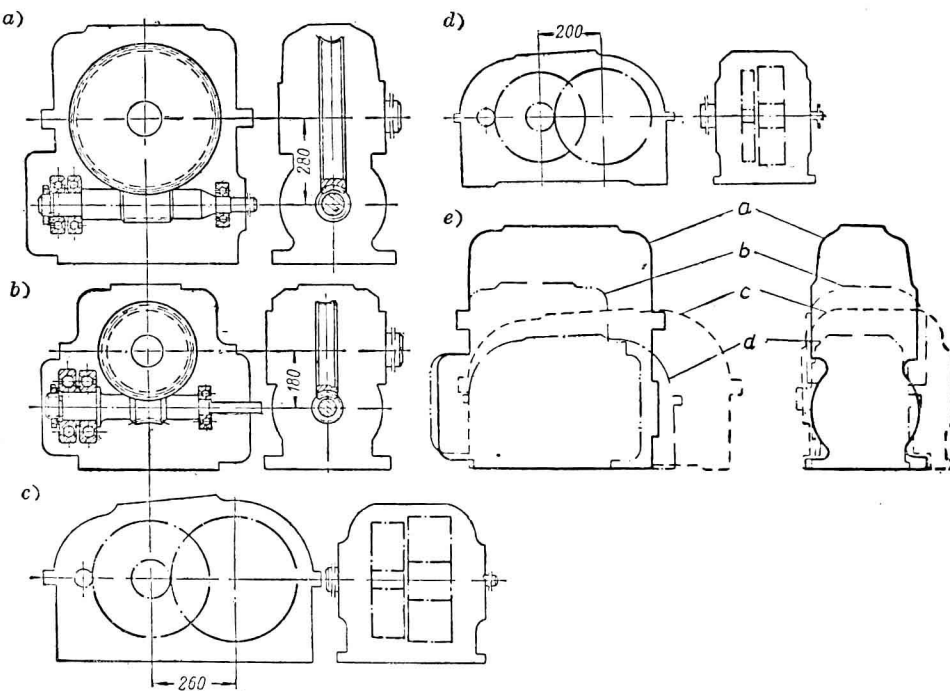


图 III-1. 用于稳定载荷、长期工作、传动比为 21, 输入功率为 25 马力的各种传动装置的外廓尺寸对比:
 a—具有锡青铜蜗轮的蜗轮减速器; b—圆弧面蜗杆蜗轮减速器; c—二级圆柱齿轮减速器(小齿轮齿面硬度淬火至 $R_c \approx 45$, 大齿轮齿面硬度为 $H_b = 220$); d—二级圆柱齿轮减速器(轮齿表面渗碳和淬火至 $R_c \approx 58$); e—上述各种减速器外廓尺寸的综合图形

第十一章 摩擦輪传动

§ 11-1. 概述

摩擦輪傳動是利用兩輪相互壓緊後，在主動軸上的扭矩作用下，兩輪間所產生的摩擦力來傳遞運動和動力的。

圖 11-1 表示最簡單的摩擦輪傳動裝置。它由兩個圓柱形摩擦輪組成，其中一輪的軸承可以移動，在力 S 作用下，兩輪的接觸面間將產生一壓緊力 $Q = S$ 。當主動輪迴轉時，摩擦力即帶動從動輪迴轉。

(一) 摩擦輪傳動的特点

和齒合傳動比較，摩擦輪傳動有下列優點：(1)構造簡單；(2)當過載時，兩輪間發生滑動，可以防止機器的損壞；(3)運轉平穩、無噪音，可適用於較高轉速的傳動中；(4)易於平緩地變更傳動比，所以廣泛地用於無級變速器中。

摩擦輪傳動的缺點是：(1)體積較大，不宜傳遞很大的功率；(2)不能保持精確的傳動比；(3)軸承上的載荷較大，必要時，要採用能夠卸除軸上載荷的特殊結構；(4)壽命較低；(5)效率較低。當摩擦輪都用淬火鋼製造並在油池中工作時，效率可達 96% 或更高；當用非金屬材料製造或複面時，效率常在 90% 以下。

(二) 摩擦輪傳動的應用

摩擦輪傳動可適用於軸線平行或相交的兩軸間的傳動。採用非金屬摩擦材料時，中心距一般不超過 1100~1200 毫米；採用硬化鋼時，中心距通常比這小得多。傳遞的功率可以很小（如儀器中的手動摩擦輪傳動），也可以很大，甚至達到數百馬力；不過除了有卸載裝置（參看圖 11-6）的以外，多不超過 10 馬力。傳動比一般為 $i \leq 5$ ；在有卸載裝置時， $i \leq 15$ 。

摩擦輪傳動常適用於鍛壓設備、起重設備、金屬切削機床和各式儀器中。

摩擦輪傳動分為定傳動比的和變傳動比的（無級變速器）兩種。定傳動比的傳動，其傳動比並非固定不變，但其變化範圍極小，約 2~5%。變傳動比的傳動，則可在一定的調速範圍內獲得任意的傳動比。

§ 11-2. 定傳動比摩擦輪傳動

(一) 型號和結構

這種傳動按照摩擦輪的結構形狀可分為：圓柱平摩擦輪的、圓柱槽摩擦輪的和圓錐摩擦輪的三種。圖 11-2 表示一對圓柱平摩擦輪的構造，其中小輪是用鑄鐵製造的，大輪的輪緣是用木材做成的。圖 11-3, a 表示圓柱槽摩擦輪傳動，輪槽的作用是利用楔形增壓的原理來增大接觸面上的壓緊力。圖中兩輪都是用金屬（鑄鐵）製成的。輪槽底面的寬度 a （圖 11-3, b）可取為 3 毫米

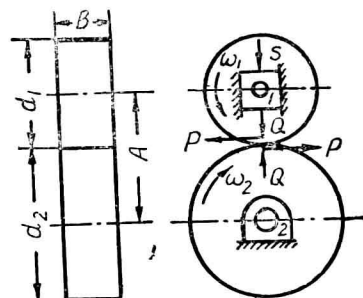


图 11-1.

(对于鋼制)或5毫米(对于鑄鐵制);徑向間隙 c 通常取为3~6毫米; 嵌入深度 $h \approx 0.04d_1$; 槽角 $2\alpha=24^\circ \sim 36^\circ$, 通常取为 30° 。

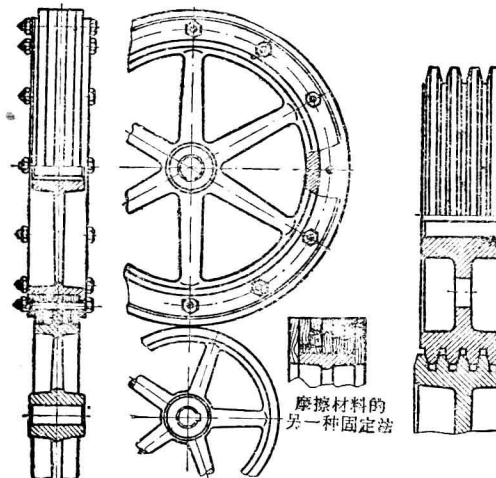


图 11-2.

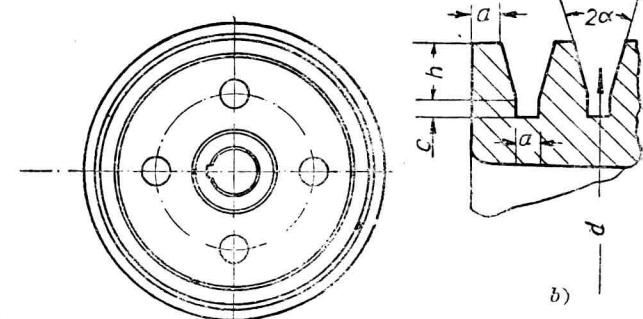


图 11-3.

图 11-4 表示圓錐摩擦輪的构造, 大輪的摩擦面用的是木材。

图 11-5 表示可換向的圓錐摩擦輪傳動。两个主动輪用金属制成, 装在同一軸上按一定的方向迴轉, 从动輪用皮革复面。当左右两个主动輪分別压在从动輪上时, 从动軸就得到两个不同的迴轉方向。

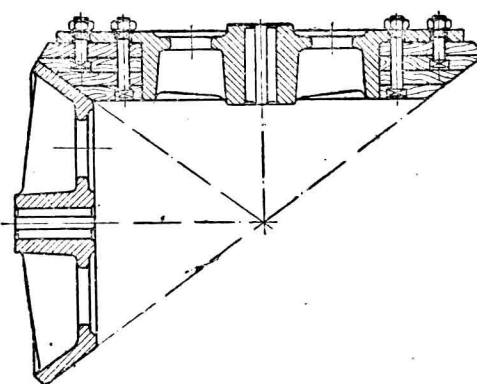


图 11-4.

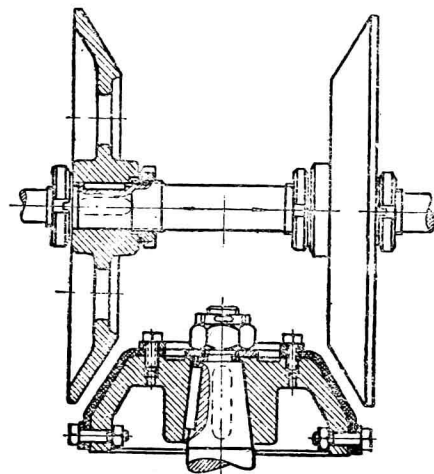


图 11-5.

图 11-6 示出有卸載装置、能自动压紧的全金属摩擦輪減速器。卸載装置由三个摩擦輪(主动輪 1、从动輪 2 和惰輪 3)和一个包围各輪的环 4 所組成。环 4 的內徑略小于輪 1、2、3 的直徑的总和, 因此用温差法装好后, 环 4 就把三个輪互相夹紧。当靜止时, 輪 1、2、3 和环 4 的中心都位于同一直線上。起动时, 从动輪 2 开始是靜止不动的, 而环 4 則受到主动輪 1 的摩擦作用而繞

E 点轉動一小角度，如圖中虛線所示。这样，環 4 就把三個輪夾得更緊，直到能傳遞所需的載荷為止。因为輪 1、2、3 和環 4 的两侧都受到大小相等而方向相反的压力，所以三個輪的軸承上並不負擔載荷。这种減速器的三個輪和環都是用淬火鋼制成的，并在油池中工作。效率可达 98%；傳遞的功率可达 200 馬力。

(二) 壓緊方法

为了保証傳動所需的摩擦力，兩輪間必須具有一定的压緊力。压緊力的大小是按傳遞功率的大小和摩擦輪間的摩擦特性而定的，其計算方法將在 §11-4 中介紹。

压緊的方法有：利用材料的彈性变形、摩擦輪的自重、彈簧、杠杆机构、凸輪或偏心輪机构，以及运转时的离心力等。在設計時，应結合傳遞的功率、运转的速度、机器的結構和工作情況等进行選擇。

图 11-7 所示为一絞車上的摩擦輪傳動，由于傳遞的功率不大，又是間歇性的工作，所以采用了偏心机构，用人力搬动手柄来压緊。

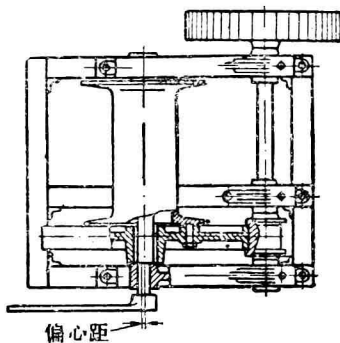


图 11-7.

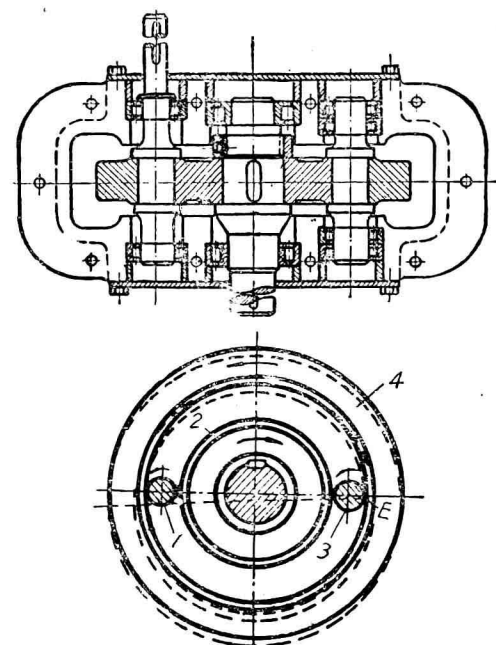


图 11-6.

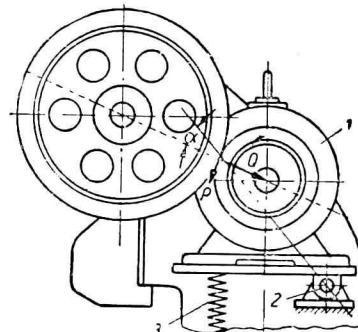


图 11-8.

图 11-8 所示的傳動是利用电动机 1 和底板的自重对軸心 2 的力矩来产生初始压緊力的。当傳動开始工作后，接触处所产生的摩擦力将使两輪更加压緊，并且随着功率的变化，压緊力亦有所增减。彈簧 3 則用来調節初始压緊力。这种压緊方法是自动的。对于經常处在部分载荷下工作的傳動，采用这类压緊方法，可以显著地提高傳動装置的寿命。应当注意，在图示的配置中，只有当主动輪順時針方向旋轉时，傳動才是可能的。

此外，图 11-6 所示的傳動亦属自动压緊的一种。它的初始压緊力是利用材料的彈性变形而产生的。

在高速傳動中，还可以利用迴轉零件的离心力达到压緊的目的。

(三) 摩擦材料

制造摩擦輪的材料应具有大的彈性模数。当其他条件相同时，彈性模数愈大，彈性滑动的損失就愈小。此外还希望有大的摩擦系数、高的接触强度、良好的耐磨性和对潮湿、温度的敏感性小等。

在高速和要求緊湊的摩擦輪傳動中，通常都用淬火鋼配淬火鋼。最常用的是滚动軸承鋼(GCr15)，淬火到 $R_c \geq 60$ 。

当一个摩擦輪用淬火鋼而另一个用鑄鐵制造时，为了提高其承载能力，鑄鐵的表面应当硬化。鑄鐵輪可用冷激方法鑄造或是进行表面淬火。

用以上两种材料制造的摩擦輪傳動，都可以浸在油池中工作或是在干燥状态下工作。在干燥状态工作时，由于磨損加剧，所以寿命較低。因此，大多数的全金属摩擦輪傳動都是浸在油池中工作的。

鋼(或鑄鐵)与夹布胶木或其他塑料作为摩擦偶件时，具有大的摩擦系数和中等的强度，通常是在干燥状态下工作的。这种摩擦偶件在小功率的傳動中用得很多。

鋼(或鑄鐵)与皮革、橡皮、木材等作为摩擦偶件时也具有很大的摩擦系数，但由于强度和寿命过低，所以在近代的动力傳動中已經很少采用了。

各种材料的摩擦系数可參看表 11-1。

§ 11-3. 摩擦輪傳動的工作特性

(一) 滑动及滑动系数

在摩擦傳動中，总是存在着滑动現象。滑动要降低傳動的效率和从动軸的轉速。

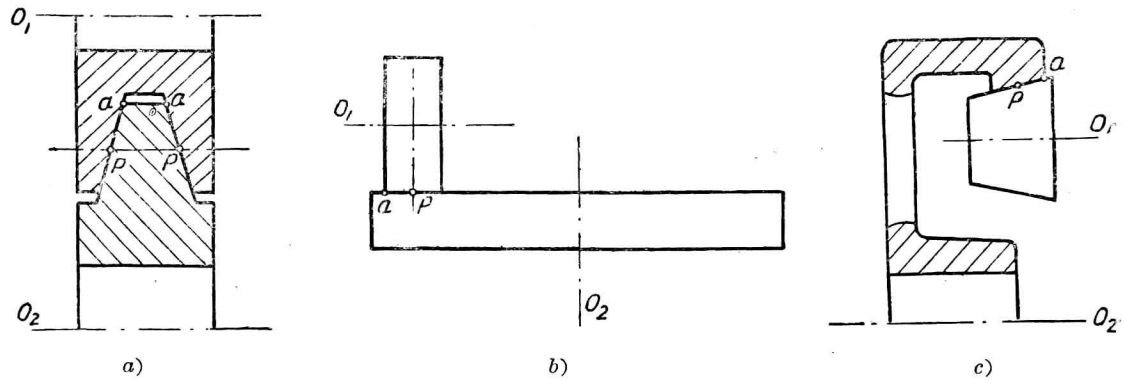


图 11-9. 有几何滑动的摩擦輪傳動

摩擦輪傳動的滑动，有以下两种。

1. 由于傳動的結構特点而引起的滑动，通常叫做几何滑动。它发生在圓柱槽摩擦輪傳動(11-9, a)、圓柱滾子及圓盤端面傳動(11-9, b)和兩圓錐的接觸綫不通过两軸軸綫交点的圓錐摩擦輪傳動(11-9, c)中。在图 11-9 所示的各种傳動中，两个輪子在接觸綫上的綫速度只在 p 点相等。p 点叫做节点。在接觸綫上的其他点处都有相对滑动。节点的位置随着从动軸上阻力矩的增大而向 a 点移动[6]，从而在主动輪轉速不变的条件下，从动輪的轉速随着降低。当阻力矩足够大时，p 点将与 a 点重合。此后，如果再加大阻力矩，则在整个接觸綫上发生滑

动。于是，从动輪轉速將急劇地降低，这样叫做打滑。

就几何滑动來說，当阻力矩不超过极限值且保持不变时，只在相对滑动处消耗摩擦功，降低傳動的效率；如果在工作时阻力矩經常改变，則除了对效率的影响外，傳動比也将隨着改变。

2. 因材料的变形而引起的滑动，通常叫做彈性滑动。这是发生在一切摩擦輪傳動中的滑动現象。图 11-10 中以圓柱平摩擦輪為例進行分析。在压緊力的作用下，接觸綫將變成接觸面。由于扭矩和摩擦力的作用，摩擦輪接觸面表層中的周向應力，在主動輪上由壓縮變為拉伸。此时，材料將相對伸長；而在從動輪上則相反，材料將相對縮短。于是二者之間就產生了滑動，使從動輪的圓周速度略低於主動輪的圓周速度。

在接觸區中，周向應力大小及性質的變化只發生在 2—3 段上，从而接觸面上的相對滑動也只發生在 2—3 段上。在此段上，摩擦力達到界限值。隨着從動輪上阻力矩的增加，2—3 段也將加大，以增大從動輪的驅動摩擦力矩，同時使從動輪的圓周速度進一步地降低。理論上，當點 2 移到點 1 的位置後，如果再加大阻力矩，則將在整個接觸面上發生滑動，出現打滑現象。

此外，由於變形的關係，兩輪的理論節圓半徑分別由 r_1 和 r_2 變為 r'_1 和 r'_2 。可以證明 $\frac{r_2}{r_1} \neq \frac{r'_2}{r'_1}$ ，這也會使傳動比有所改變。

2—3 段上的滑動也要消耗功率，降低傳動的效率。

在傳動設計中，以滑動系數 ε 来表示從動輪圓周速度的損失率，即

$$\varepsilon = \frac{V_1 - V_2}{V_1} \times 100\%, \quad (11-1)$$

或

$$V_2 = (1 - \varepsilon) V_1. \quad (11-1, a)$$

但 $V_1 = \frac{\pi n_1 d_1}{60}$; $V_2 = \frac{\pi n_2 d_2}{60}$ (式中 n_1, n_2 及 d_1, d_2 分別為主動輪及從動輪的轉速和直徑)，

故 $\varepsilon = \left(1 - \frac{n_1 d_1}{n_2 d_2}\right) 100\%. \quad (11-1, b)$

對金屬的摩擦輪傳動， $\varepsilon = 0.5 \sim 1\%$ ；用非金屬材料製造或複面時， ε 常達 5% 或更高。

當在從動軸上突然作用短暫的過載（如起動時機器的慣性阻力矩等）時，打滑常常是不可避免的。在正常運轉時，絕不允許打滑現象發生。加大壓緊力可以防止打滑，但壓緊力不應超過摩擦輪材料所允許的限度。

（二）傳動比及其準確性

當不考慮滑動影響時，圓柱摩擦輪傳動（圖 11-1）的理論傳動比為

$$i_{\text{理}} = \frac{d_2}{d_1}; \quad (11-2)$$

對於圓錐摩擦輪傳動（圖 11-12），

$$i_{\text{理}} = \frac{d_2}{d_1} = \frac{2L \sin \delta_2}{2L \sin \delta_1} = \frac{\sin \delta_2}{\sin \delta_1}; \quad (11-3)$$

式中 δ_1, δ_2 ——主、從動圓錐的頂角之半； L ——圓錐母線的長度。

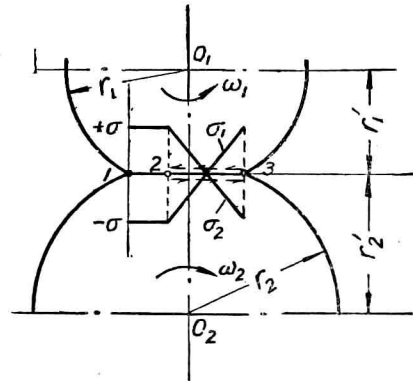


图 11-10. 圆柱平摩擦輪傳動接觸區示意圖

对于常用的、 $\delta_1 + \delta_2 = 90^\circ$ 的圓錐摩擦輪傳動，

$$i_{\text{理}} = \tan \delta_2 = c \tan \delta_1. \quad (11-3, a)$$

當計入彈性滑動時，圓柱和圓錐摩擦輪傳動的傳動比[參看公式(11-1, b)]分別為：

$$i = \frac{n_1}{n_2} = \frac{d_2}{(1-s)d_1}; \quad (11-4)$$

$$i = \frac{n_1}{n_2} = \frac{\sin \delta_2}{(1-s) \sin \delta_1}. \quad (11-5)$$

分別與公式(11-2)、(11-3)比較，可知 $i = \frac{i_{\text{理}}}{1-s} > i_{\text{理}}$.

§ 11-4. 摩擦輪傳動的計算

(一) 壓緊力

在圖 11-1 中，令 f 表示兩輪間的摩擦系數，則所傳遞的圓周力應滿足下列條件：

$$P \leq fQ.$$

為了保證工作時不發生滑動，還須引入一可靠性系數 k ，即

$$kP = fQ;$$

由此得

$$S = Q = \frac{kP}{f}; \quad (11-6)$$

在動力傳動中，通常取 $k=1.25 \sim 1.5$ 。

摩擦系數可按表 11-1 選取。

表 11-1. 摩擦輪傳動的 f 、 $[q]$ 、 E_{up} 和 $[\sigma_e]$ 值

材 料	f	$[q]$ (公斤/厘米)	E_{up} (公斤/厘米 2)	$[\sigma_e]$ (公斤/厘米 2)
鋼與鋼(有潤滑油)	0.05	—	2.15×10^6	$(25 \sim 30)H_k$
鋼與鋼(干燥狀態)	0.1~0.15	—	2.15×10^6	$(12 \sim 15)H_s$
鋼與鑄鐵(有潤滑油)	0.05	—	$(1.58 \sim 1.76) \times 10^6$	$1.5\sigma_{\text{BS}}$
鑄鐵與鑄鐵(有潤滑油)	0.05	—	$(1.15 \sim 1.6) \times 10^6$	$1.5\sigma_{\text{BS}}$
鋼與夾布胶木(干燥狀態)	0.2~0.25	20~25	$(1.17 \sim 1.98) \times 10^5$	500
鑄鐵與夾布胶木(干燥狀態)	0.2~0.25	20~25	$(1.14 \sim 1.88) \times 10^5$	500
鑄鐵與纖維材料(干燥狀態)	0.15~0.20	25~45	—	—
鑄鐵與皮革(干燥狀態)	0.25~0.35	30~35	—	—
鑄鐵與木材(干燥狀態)	0.40~0.50	5~10	—	—
鑄鐵與特殊橡膠(干燥狀態)	0.50~0.75	2.5~5	—	—

平摩擦輪傳動的最大缺點是需要很大的壓緊力，因此，一般用于 $N \leq 3$ 馬力的場合。

為了減少壓緊力，除可選用摩擦系數大的材料外，還可採用圓柱槽摩擦輪。

槽摩擦輪傳動的構造參看圖 11-3。圖 11-11 中示出了作用在輪槽上的力，根據各力平衡的條件，可求出作用於可動軸承上的力 S 、接觸面上的壓緊力 Q 和圓周力 P ($P=2Qf$ ，方向與紙面垂直) 的關係：

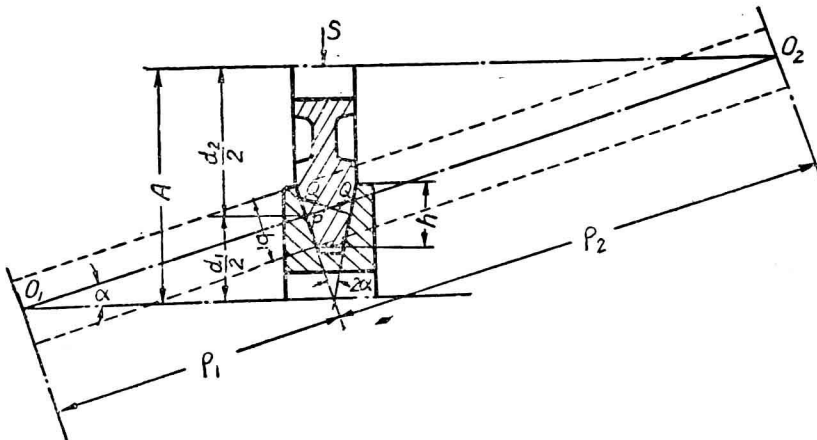


图 11-11.

$$S = 2Q \sin \alpha = \frac{kP \sin \alpha}{f}. \quad (11-7)$$

由公式(11-7)可知, 傳動條件相同時, 圓柱槽摩擦輪所需作用於軸承上的力較小, 但發熱較為嚴重。

圓錐摩擦輪上作用力的分析見圖 11-12。接觸面上的壓緊力 Q 是由於軸向壓力 S_1, S_2 而得到的。由平衡條件可求出 S 與 Q, P 的關係:

$$S_1 = Q \sin \delta_1 = \frac{kP}{f} \sin \delta_1; \quad (11-8)$$

$$S_2 = Q \sin \delta_2 = \frac{kP}{f} \sin \delta_2. \quad (11-9)$$

由上式可知, 因 $\delta_1 < \delta_2$, 故 $S_1 < S_2$ 。因此, 傳動所需的壓緊力應沿軸向施加於小輪上。

(二) 強度計算

全金屬摩擦輪的損壞通常是由於表面發生點蝕^①,

而點蝕的發生是由於接觸處的接觸應力(脈動循環變應力)過高所致。由 §4-6 可知, 兩圓柱體接觸處的最大接觸應力及強度條件為

$$\sigma_k = 0.418 \sqrt{\frac{Q}{B}} \frac{E_{sp}}{\rho_{np}} \leq [\sigma_k], \quad (11-10)$$

式中 Q ——兩輪間的壓緊力; $[\sigma_k]$ ——許用接觸應力, 見表 11-1; 其余符號意義同公式(4-56, a)。

對於圓柱平摩擦輪傳動(圖 11-1):

$$\text{綜合曲率半徑 } \rho_{np} = \frac{\rho_1 \rho_2}{\rho_2 + \rho_1} = \frac{d_1 d_2}{2(d_2 + d_1)} = \frac{A i}{(i+1)^2} \text{ 厘米};$$

$$\text{壓緊力 } Q = \frac{kP}{f} = \frac{2kM_1}{fd_1} = \frac{kM_1(i+1)}{fA} \text{ 公斤};$$

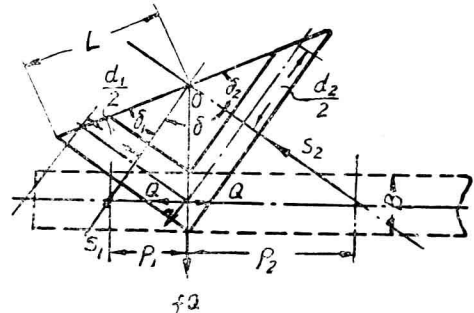


图 11-12.

^① 關於點蝕的說明參看 § 14-2。